

Instituto Superior Técnico

Sistemas de Controlo de Tráfego

2018-2019

Posicionamento do Recetor GPS

Projecto n° 1

Aluno:

Nuno Brandão, n^o85232

Corpo docente:

Fernando Duarte Nunes

Índice

1	Introdução	3
2	Introdução Teórica	4
2.1	Determinação da constelação de satélites	4
2.2	Sistema de Coordenadas	5
2.3	Determinação da posição dos satélites e do recetor	7
2.4	Método dos Mínimos Quadrados	8
3	Algoritmo Implementado	10
4	Resultados Obtidos	11
4.1	Posição dos Satélites	11
4.2	Implementação do Método de Mínimos Quadrados	13
4.2.1	Com consideração dos erros ionosféricos	13
4.2.2	Sem consideração dos erros ionosféricos	17
4.2.3	Com erros ionosféricos e sem <i>Canyon Scenario</i>	19
5	Conclusões	23

1 Introdução

O presente relatório relata uma simulação de um recetor GPS, com a análise dos erros de posição e de velocidade em diversos cenários. É estudado o efeito do número de satélites utilizados no erro de posição e de velocidade, e é feita uma simulação não considerando os erros ionosféricos.

O sistema GPS é um sistema de posicionamento por satélite que fornece a posição de um recetor móvel. Para tal, é necessário que o recetor tenha no mínimo 4 satélites visíveis, em que 3 deles são utilizados para a triangulação da posição do recetor (x_u, y_u, z_u) e o quarto é utilizado para a correção do relógio.

O recetor calcula a posição de cada satélite em cada momento. Uma vez que a velocidade das ondas eletromagnéticas é igual à velocidade da luz, são calculadas as distâncias entre o recetor e cada satélite. Esta distância denomina-se de pseudo-distância, que não corresponde à distância verdadeira uma vez que há erros provenientes da influência da ionosfera e da sincronização dos relógios associados ao seu cálculo. O erro de relógio é atenuado pelo 4^o satélite, porém o erro da ionosfera é necessário ser minimizado em estações terrestres.

Os satélites utilizados correspondem aos N satélites que minimizam o parâmetro PDOP (*Position Dilution of Precision*), escolhidos dos satélites visíveis da posição do recetor.

2 Introdução Teórica

2.1 Determinação da constelação de satélites

A constelação de satélites em órbita é gerada a partir de informações de um Almanaque YUMA. Para o efeito, escolheram-se os dados referentes à semana 6 de Janeiro de 2008. Com estes dados, é possível calcular as ECEF (*Earth Centred - Earth Fixed*) dos satélites a partir de um referencial ECI (*Earth Centered Inertial Coordinates*).

O tempo no recetor é medido relativamente ao início da semana GPS. Seja t_{oe} o tempo de referência de efeméride, correspondendo ao tempo desde o início do calendário até à data em que os almanacs foram criados e seja t_{st} o instante em que o sinal é transmitido, a relação entre os tempos é $\Delta t = t_{oe} - t_{st}$ como é possível observar na figura 1:

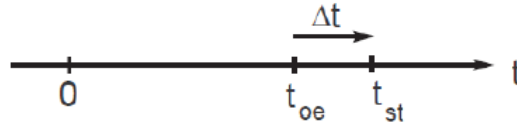


Figura 1: Relação entre tempos

Para o cálculo da posição dos satélites, foram adquiridos dados dos almanaques. Sejam as variáveis:

- e_0 - Excentricidade da órbita;
- α - Inclinação da órbita;
- $\dot{\Omega}$ - Taxa de variação da longitude do nó ascendente no instante t_{oe} ;
- \sqrt{a} - Raiz quadrada do semi-eixo maior da órbita;
- Ω_0 - Ascensão do nó ascendente;
- ω - Argumento de perigeu;
- M_0 - Anomalia média no instante t_{oe} ;

A posição aproximada de um satélite GPS em coordenadas ECEF é então dada por:

$$\begin{bmatrix} x \\ y \\ z \end{bmatrix} = R \begin{bmatrix} \cos\theta\cos\Omega - \sin\theta\sin\Omega\cos\alpha \\ \cos\theta\cos\Omega + \sin\theta\sin\Omega\cos\alpha \\ \sin\Omega\sin\theta \end{bmatrix} \quad (1)$$

em que $\theta = v + \omega$ é o argumento da latitude (ângulo entre o nó ascendente e a posição satélite no plano da órbita), v é a anomalia verdadeira, Ω é a longitude no referencial ECI e α é a inclinação do plano da órbita, de acordo com a figura 2.

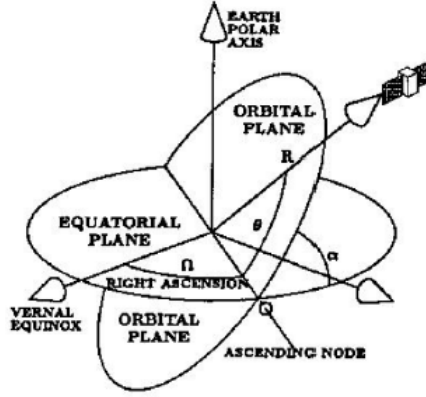


Figura 2: Esquema de coordenadas ECI

A anomalia verdadeira, v , é dada por:

$$v = \arctan_2\left(\frac{\sqrt{1-e_0^2}\sin E}{\cos(E) - e_0}\right) \quad (2)$$

em que E é a anomalia excêntrica, que é obtida através da iteração da equação de *Kepler* assumindo que a anomalia média $M = E - e_0 \sin(E)$ é conhecida.

No instante de tempo em que o sinal é transmitido, t_{st} , a anomalia média é dada através da equação seguinte:

$$M = M_0 + n\Delta t \quad (3)$$

em que M_0 é a anomalia média no instante de referência de ephemeris t_0 , e $n = \frac{2\pi}{T} = \sqrt{\frac{\mu}{A^3}}$ é uma constante, em que T é o período da órbita do satélite, $\mu = 3.986 \times 10^{14} \text{ m}^3/\text{s}^2$ é a constante gravitacional da terra e A é o comprimento do semi-eixo maior da órbita.

A longitude do nó ascendente no instante t_{st} é dada por:

$$\Omega = \Omega_0 + \dot{\Omega}\Delta t - \dot{\Omega}_e t_{st} \quad (4)$$

em que $\dot{\Omega}_e = 7.2921151467 \times 10^{-5} \text{ rad/s}$ é a velocidade de rotação da terra.

Por fim, o raio da órbita é dado por:

$$R = A[1 - e_0 \cos(E)] \quad (5)$$

2.2 Sistema de Coordenadas

O sistema de coordenadas utilizado na determinação da posição dos satélites é o sistema inercial *ECI*.

A base para a conversão entre coordenadas foi realizada com o modelo físico WGS-84 (*world geodetic system 1984*) expressando-se correspondentemente os termos latitude, longitude e altitude como (ϕ, λ, h) . Posto isto, o cálculo das coordenadas ECEF do recetor (x_u, y_u, z_u) é dado por:

$$\begin{bmatrix} x_u \\ y_u \\ z_u \end{bmatrix} = \begin{bmatrix} (N+h)\cos(\phi)\cos(\lambda) \\ (N+h)\cos(\phi)\sin(\lambda) \\ (N(1-e^2)+h)\sin(\phi) \end{bmatrix} \quad (6)$$

com

$$N = \frac{a}{\sqrt{1 - e^2 \sin^2(\phi)}} \quad (7)$$

sendo a o semi eixo maior do plano do equador e e a excentricidade.

Por outro lado, é possível obter a latitude, longitude e altitude a partir das coordenadas em ECEF

$$\begin{bmatrix} \lambda \\ \phi \\ h \end{bmatrix} = \begin{bmatrix} \arctan_2 \left(\frac{y_u}{x_u} \right) \\ \arctan_2 \left(\frac{z_u}{p} \left(1 - e^2 \frac{N}{N+h} \right)^{-1} \right) \\ \frac{p}{\cos(\phi)} - N \end{bmatrix} \quad (8)$$

$$p = \sqrt{x_u^2 + y_u^2} \quad (9)$$

Na figura 3 apresenta-se o sistema de coordenadas ENU (*East-North Up*). Este sistema permite converter as coordenadas de um dado sistema em coordenadas relativas a um ponto P_u onde ϵ representa o ângulo de elevação, α o azimuth e (x,y,z) as coordenadas ENU de um dado satélite.

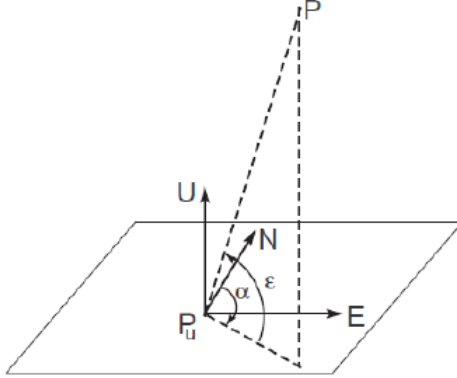


Figura 3: Sistema de coordenadas *ENU* (East-North Up)

$$\epsilon = \arcsin \left(\frac{z}{\sqrt{x^2 + y^2 + z^2}} \right) \quad (10)$$

$$\alpha = \arctan_2(x, y) \quad (11)$$

Para fazer a conversão entre os diferentes sistemas de coordenadas utilizou-se as seguintes funções MATLAB:

- `ecef2enu`: recebe como argumentos as coordenadas ECEF do satélite, latitude, longitude e altitude do recetor, e o modelo físico utilizado WGS-84, retornando as coordenadas em ENU;

- enu2ecef: recebe como argumentos as coordenadas ENU do satélite, latitude, longitude e altitude do recetor, retornando as coordenadas ECEF dos satélites;
- ecef2lla: recebe como argumento as coordenadas ECEF, retornando a latitude, longitude e a altitude;
- lla2ecef: recebe a latitude, longitude e altitude, retornando as coordenadas ECEF.

2.3 Determinação da posição dos satélites e do recetor

A posição dos satélites visíveis é obtida com base no ângulo de elevação do satélite em relação ao horizonte local, em coordenadas ENU. A figura seguinte representa a elevação e o azimute de um satélite:

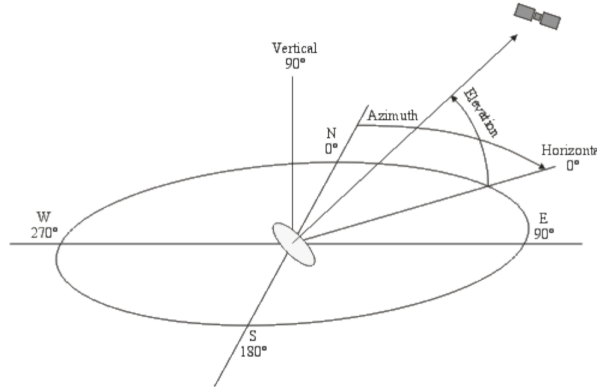


Figura 4: Coordenadas ENU dos satélites

Comparando posteriormente a elevação de cada satélite com um ângulo padrão, é possível separar os satélites que entram na sub-constelação de satélites visíveis.

Seja a posição do recetor denominada por (x_u, y_u, z_u) , t_u o desvio do relógio do recetor relativamente ao relógio do sistema GPS, e ϵ_i o erro associado à medida da posição do recetor devido aos efeitos da ionosfera. A posição de um recetor é então determinada recorrendo às pseudo-distâncias relativas a N satélites. As pseudo-distâncias são calculadas a partir da equação 12. As estimativas das pseudo-distâncias são calculadas utilizando a mesma fórmula, mas com os valores estimados para a posição do recetor $(\hat{x}_u, \hat{y}_u, \hat{z}_u)$ e para o erro do relógio \hat{t}_u .

$$\rho_N = \sqrt{(X_N - x_u)^2 + (Y_N - y_u)^2 + (Z_N - z_u)^2} + ctu + \epsilon_N \quad (12)$$

Uma vez que o erro do relógio e a posição do recetor são desconhecidos, estes podem ser aproximados pela sua estimativa somada de uma componente incremental, da forma:

$$\begin{bmatrix} x_u \\ y_u \\ z_u \\ t_u \end{bmatrix} = \begin{bmatrix} \hat{x}_u + \Delta x_u \\ \hat{y}_u + \Delta y_u \\ \hat{z}_u + \Delta z_u \\ \hat{t}_u + \Delta t_u \end{bmatrix} \quad (13)$$

O modelo incremental para as pseudo-distâncias é dado por:

$$\Delta\rho_i = \frac{\partial\rho_i}{\partial x_u}\Delta x_u + \frac{\partial\rho_i}{\partial y_u}\Delta y_u + \frac{\partial\rho_i}{\partial z_u}\Delta z_u \quad (14)$$

em que $\frac{\partial\rho_i}{\partial x_u} = \frac{x_u - X_i}{\hat{r}_i}$, $\frac{\partial\rho_i}{\partial y_u} = \frac{y_u - Y_i}{\hat{r}_i}$, e $\frac{\partial\rho_i}{\partial z_u} = \frac{z_u - Z_i}{\hat{r}_i}$, e a distância esperada entre satélite e recetor $\hat{r}_i = \sqrt{(x_i - x_u)^2 + (y_i - y_u)^2 + (z_i - z_u)^2}$.

Na forma matricial tem-se $\Delta\rho = G\Delta v$. Para N=4 tem-se o seguinte sistema:

$$\begin{bmatrix} \Delta\rho_1 \\ \Delta\rho_2 \\ \Delta\rho_3 \\ \Delta\rho_4 \end{bmatrix} = \begin{bmatrix} a_{x1} & a_{y1} & a_{z1} & 1 \\ a_{x2} & a_{y2} & a_{z2} & 1 \\ a_{x3} & a_{y3} & a_{z3} & 1 \\ a_{x4} & a_{y4} & a_{z4} & 1 \end{bmatrix} \begin{bmatrix} \Delta x_u \\ \Delta y_u \\ \Delta z_u \\ \Delta t_u \end{bmatrix} \quad (15)$$

em que $\Delta\rho_i = \hat{\rho}_i - \rho_i$ e $a_{xi} = \frac{\partial\rho_i}{\partial x_i}$. Ao considerar a geometria dos satélites fixa, esta relação traduz-se numa relação linear entre os erros de pseudo-distâncias e os erros de posicionamento e desvio do relógio do recetor. Os erros das pseudo-distâncias são considerados variáveis Gaussianas de média nula, pelo que assumindo uma geometria fixa Δv é também um vetor gaussiano de média nula cuja matriz de covariância é definida por:

$$\text{cov}(\Delta v) = \sigma_{URE}^2 (G^T G)^{-1} \quad (16)$$

em que $(G^T G)^{-1}$ é uma matriz representada como:

$$(G^T G)^{-1} = \begin{bmatrix} h_{11} & h_{12} & h_{13} & h_{14} \\ h_{21} & h_{22} & h_{23} & h_{24} \\ h_{31} & h_{32} & h_{33} & h_{34} \\ h_{41} & h_{42} & h_{43} & h_{44} \end{bmatrix} \quad (17)$$

O PDOP (*Position Dilution of Precision*) é então definido como:

$$PDOP = \sqrt{h_{11} + h_{22} + h_{33}} \quad (18)$$

O PDOP é um indicador de qualidade e de precisão da posição num ambiente tridimensional. Representa uma amplificação do erro de posição, e por isso deve ser tão baixo quanto possível.

2.4 Método dos Mínimos Quadrados

O método dos mínimos quadrados é um método que faz uma estimativa procurando minimizar a soma dos quadrados dos resíduos. Como resíduo entende-se a variação entre o valor estimado e o valor exato. É um método iterativo de rápida convergência em que, em cada iteração a posição calculada é feita com base numa estimativa anterior.

O método dos mínimos quadrados aplicado foi o seguinte:

1. A partir das posições conhecidas dos satélites e do recetor, são calculadas as pseudo-distâncias entre o recetor e os satélites.
2. Fornece-se uma estimativa inicial, de forma a que o algoritmo tenha um ponto de partida.
3. É determinada a matriz G.

4. São calculadas as pseudo-distâncias estimadas e determinam-se os erros de pseudo-distâncias.
5. Determina-se o erro de posição e a estimação.
6. Repete-se o algoritmo a partir do passo 2, utilizando agora as estimativas calculadas em cada iteração no passo 5.

Em caso de fim do tempo de simulação, ou de não haver o número de satélites necessário para a solução da equação de navegação (4), o algoritmo termina.

Os erros ionosféricos ($\rho_{iono} = \frac{10}{sen\epsilon}$) podem ou não ser considerados no algoritmo. No entanto, para cada medição de pseudo-distâncias há a adição de ruído Gaussiano (n) de média nula e variância inserida pelo utilizador. As pseudo-distâncias são dadas por:

$$\rho_i = \sqrt{(X_i - x_u)^2 + (Y_i - y_u)^2 + (Z_i - z_u)^2} + \rho_{iono} + n \quad (19)$$

em que (X_i, Y_i, Z_i) com $i = 1, \dots, N$, são as coordenadas do satélite e (x_u, y_u, z_u) são as coordenadas do recetor.

A matriz G é então dada por:

$$G = \begin{bmatrix} -\frac{X_1 - \hat{x}_u}{\rho_1} & -\frac{Y_1 - \hat{y}_u}{\rho_1} & -\frac{Z_1 - \hat{z}_u}{\rho_1} & 1 \\ \vdots & \vdots & \vdots & \vdots \\ -\frac{X_i - \hat{x}_u}{\rho_i} & -\frac{Y_i - \hat{y}_u}{\rho_i} & -\frac{Z_i - \hat{z}_u}{\rho_i} & 1 \end{bmatrix} \quad (20)$$

As pseudo-distâncias estimadas são dadas por:

$$\hat{\rho}_i = \sqrt{(X_i - \hat{x}_u)^2 + (Y_i - \hat{y}_u)^2 + (Z_i - \hat{z}_u)^2} \quad (21)$$

em que $(\hat{x}_u, \hat{y}_u, \hat{z}_u)$ são as coordenadas estimadas do recetor.

É possível então calcular o erro das pseudo-distâncias e de posição (ΔP):

$$\Delta\rho = \rho_i - \hat{\rho}_i \quad (22)$$

$$\Delta P = (G^T G)^{-1} \Delta\rho \quad (23)$$

Assim, a nova estimativa de posição do recetor é:

$$\hat{P}(k+1) = \hat{P}(k) + \Delta P \quad (24)$$

em que $\hat{P}(k)$ é a posição estimada anterior.

3 Algoritmo Implementado

Inicialmente, o programa pede ao utilizador para definir valores para a data, hora, ângulo de máscara de referência, e posição inicial do recetor (latitude, longitude e altitude) pretendidas para a simulação. De seguida, e com base na informação do almanaque YUMA utilizado, é calculada a posição de todos os satélites. As coordenadas iniciais do recetor são então convertidas para coordenadas ECEF, que permite calcular o número e a posição dos satélites visíveis da posição do recetor. É então dada a informação do número de satélites visíveis ao utilizador, e é pedido o número de satélites pretendidos para a simulação, que deverá ser superior a 4 e inferior ao número de satélites visíveis. Com a informação do número de satélites a utilizar pretendidos, são calculadas as posições e os ID's dos satélites que minimizam o PDOP, que serão os utilizados ao longo do percurso. Posto isto, é pedido ao utilizador para indicar a variância pretendida para o ruído, e se pretende considerar os erros ionosféricos. São medidas então as pseudo-distâncias entre os satélites que minimizam o PDOP e o recetor, e é calculada uma estimação para a posição inicial do recetor a partir do método de mínimos quadrados, tendo como início o centro geográfico de Portugal (37°N, 7°W, altitude 500m).

A frequência de amostragem é $1Hz$, pelo que a posição do recetor é atualizada a cada 1s. Para cada instante de tempo ao longo de todo o trajeto é calculada a posição do recetor, sendo que a origem do referencial é considerada a posição inicial do recetor. O movimento no percurso AB é considerado movimento uniformemente acelerado, no percurso BC é considerado movimento circular uniforme, e no percurso CD e DE é considerado movimento retilíneo uniforme. As máscaras de referência inseridas pelo utilizador são utilizadas para todos os percursos excepto para o DE, em que é utilizada uma máscara para que o número de satélites seja 4. As coordenadas de cada posição do recetor ao longo do percurso são convertidas para coordenadas ECEF e para LLA (longitude, latitude, altitude).

Uma vez que ao longo do movimento do recetor a posição dos satélites relativamente a este se altera, são calculadas as posições dos satélites para cada posição amostrada do recetor, com a restrição da máscara. Em cada posição o programa verifica que há o número de satélites pretendidos, inserido pelo utilizador, sendo que em caso de não haver, termina. No percurso DE o programa utiliza apenas os 4 satélites de maior elevação.

Havendo o número de satélites pretendidos disponíveis, são medidas as pseudo-distâncias entre os satélites e o recetor. Posteriormente, são então calculadas as estimativas para a posição do recetor em cada posição, através do método de mínimos quadrados.

Com as coordenadas da posição exata e da estimativa de mínimos quadrados do recetor, é calculado o erro absoluto e quadrático de posição do recetor. Em cada uma das 100 simulações é armazenado o erro quadrático médio de cada percurso, que possibilita a realização de um gráfico para a avaliação da precisão da estimação.

Por fim, cada posição do recetor é convertida para coordenadas ENU, que possibilita fazer uma estimação para a velocidade através da amostra de posições adjacentes. É calculado também o erro absoluto e quadrático para a velocidade. O erro quadrático da velocidade em cada posição é utilizado para gerar um gráfico que permite avaliar a precisão da estimação da velocidade.

4 Resultados Obtidos

4.1 Posição dos Satélites

Na simulação executada foi utilizado como data e hora de referência 28/11/2009, às 19:55:01, com um ângulo de máscara de referência de 10° e sendo posição inicial exata do recetor:

- Latitude = 40°N
- Longitude = 9°W
- Altitude = 2000m

A posição dos 31 satélites do almanaque estão indicadas em termos de azimuth e elevação na figura 5.

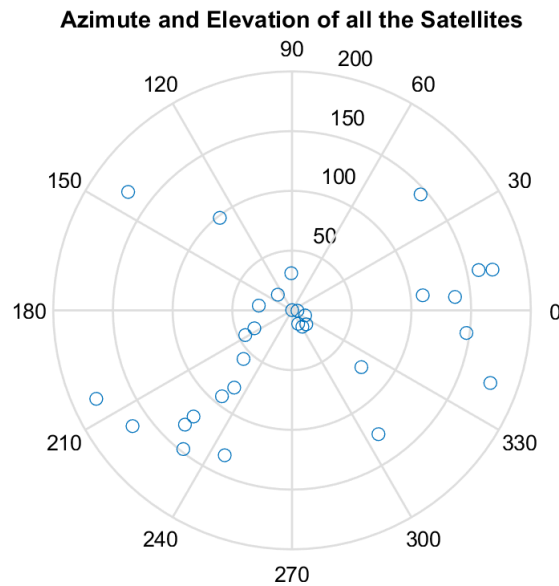


Figura 5: Posição inicial de todos os satélites disponíveis

Dada a restrição pelo ângulo de máscara, os satélites visíveis da posição inicial do recetor não correspondem aos disponíveis. Assim, a figura 6 representa a posição em termos de azimuth e elevação dos satélites visíveis.

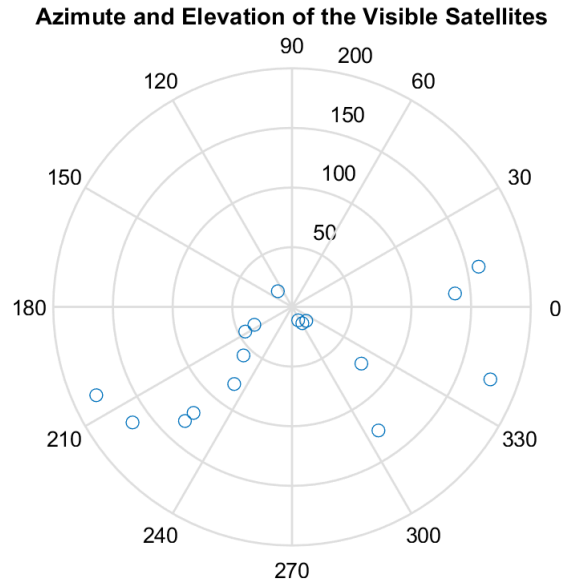


Figura 6: Posição inicial dos satélites visíveis

O programa emitiu então para o utilizador a mensagem de que estavam 17 satélites disponíveis. O número de satélites escolhidos para serem utilizados foi $N=8$. A escolha dos satélites utilizados foi feita com base nos que têm menor PDOP. Assim, a constelação dos satélites utilizados, que minimizam o PDOP está representada na figura 7. O PDOP mínimo obtido foi de 1,6180.

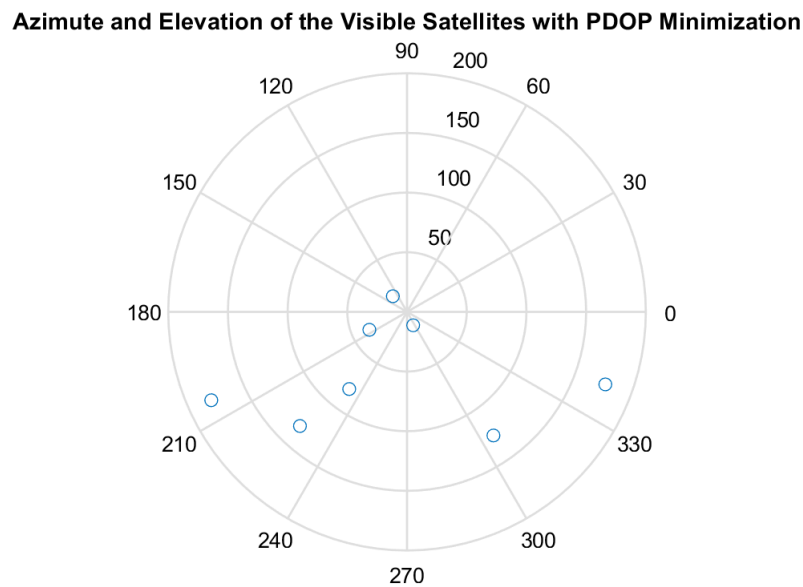


Figura 7: Posição inicial dos 8 satélites utilizados que minimizam o PDOP

A simulação foi repetida com os mesmos valores introduzidos, excepto o número de satélites

pretendido que foi aumentado para $N=13$. Com esta configuração, a constelação de satélites que minimiza o PDOP está representada na figura 8. Para este caso, verificou-se que o PDOP mínimo desceu para 1,4388.

Azimuth and Elevation of the Visible Satellites with PDOP Minimization

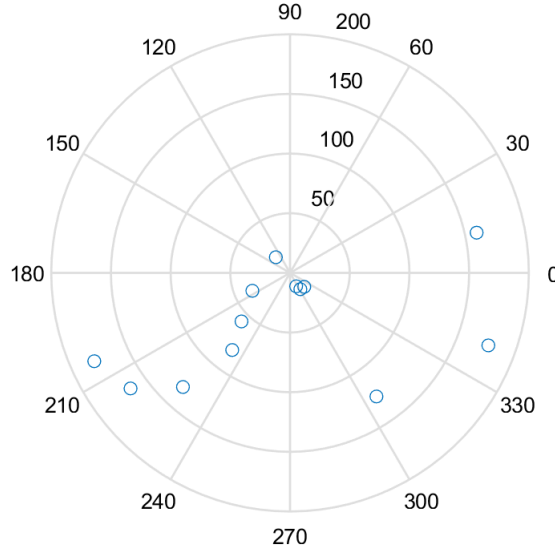


Figura 8: Posição dos 13 satélites utilizados que minimizam o PDOP

4.2 Implementação do Método de Mínimos Quadrados

Na simulação, para o cálculo das pseudo-distâncias foi definida a variância do ruído como $\sigma_{ruído}^2 = 15$.

4.2.1 Com consideração dos erros ionosféricos

A contribuição dos erros ionosféricos para o cálculo das pseudo-distâncias é $\rho_{iono} = \frac{10}{\sin \epsilon}$.

As posições exatas e estimadas, bem como os erros absolutos de posição e velocidade ao longo do percurso estão representados na figura 9.

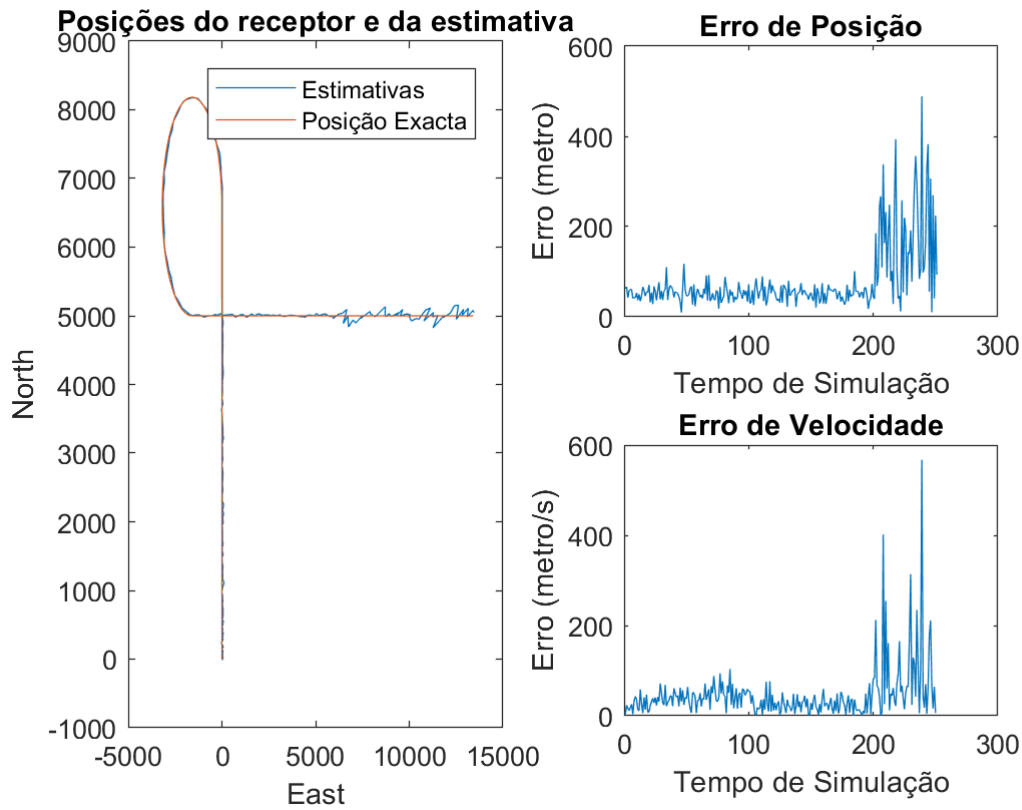


Figura 9: Posição exata e estimada e erros absolutos de posição e velocidade considerando erros ionosféricos

O erro de velocidade apresentado é relativo à estimativa da velocidade e a velocidade real, que estão representadas na figura 10.

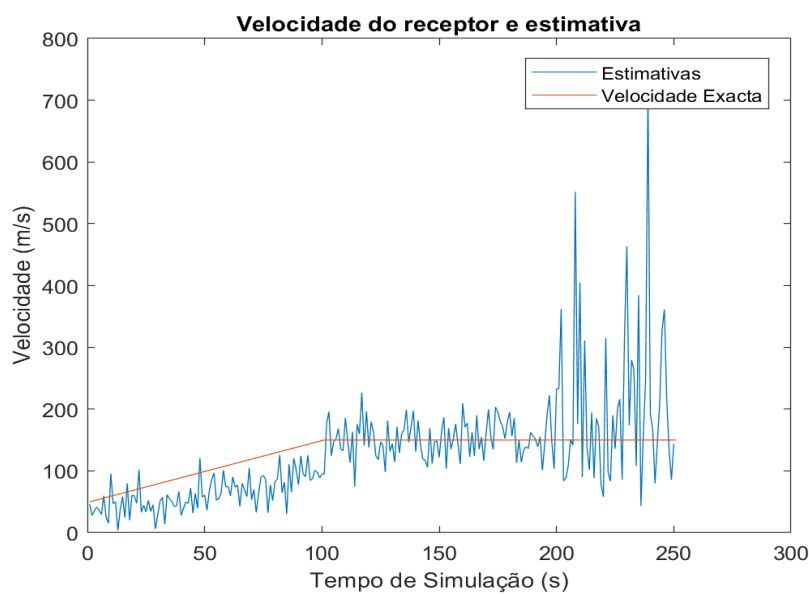


Figura 10: Velocidade exata e velocidade estimada

É facilmente visível o efeito do *Canyon Scenario* na estimativa da posição do recetor e

consequentemente na velocidade. Verifica-se assim que a partir do momento em que o recetor começa o percurso com restrição aos 4 satélites de maior elevação, há um incremento dos erros de posição e velocidade.

O erro quadrático médio de um estimador é o quadrado do desvio entre o valor estimado e o verdadeiro. Foi armazenado o erro quadrático médio para cada percurso, para cada uma das 100 simulações. Assim, nas figuras seguintes, o erro quadrático médio e o erro de posição médio estão representados em função do número de simulações para o percurso AB, BC, CD e DE, respetivamente.

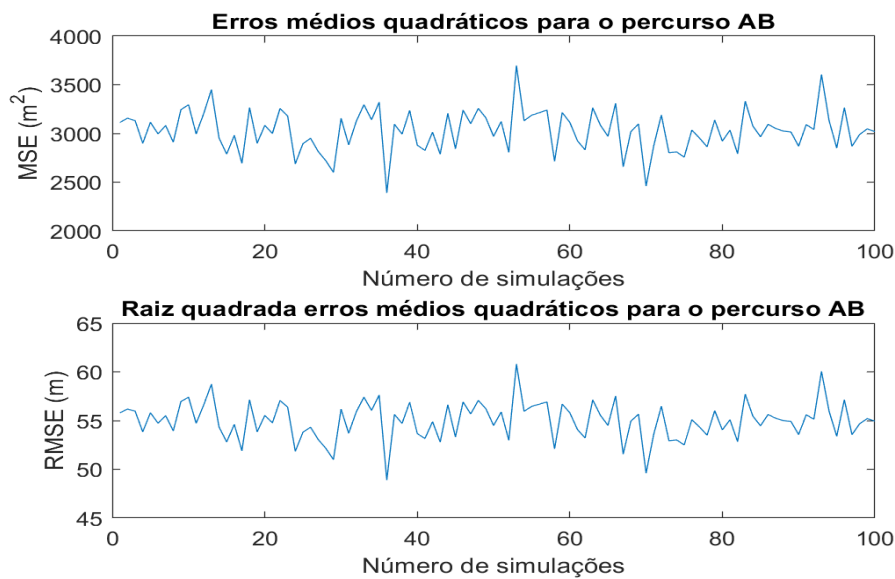


Figura 11: Erro quadrático e de posição médios para o troço AB



Figura 12: Erro quadrático e de posição médios para o troço BC

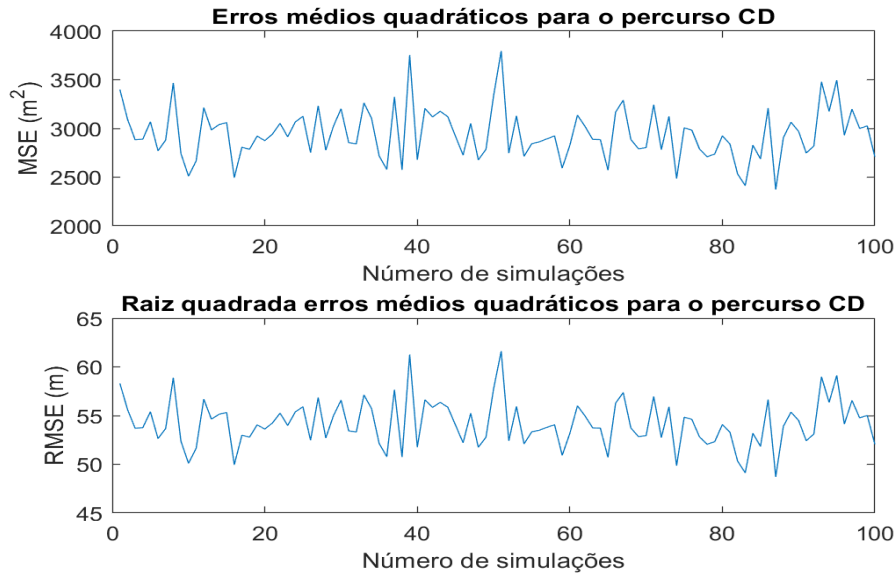


Figura 13: Erro quadrático e de posição médios para o troço CD

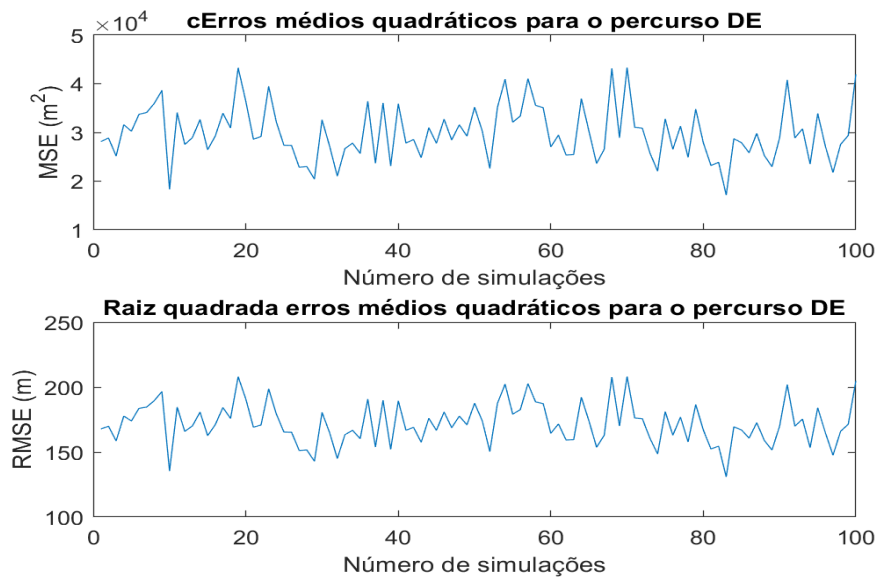


Figura 14: Erro quadrático e de posição médios para o troço DE

É possível verificar que os valores dos erros quadráticos médios e dos erros de posição são elevados, indicando um estimador não muito preciso. Um dos principais fatores é o facto de em cada iteração o método dos mínimos quadrados passar muito pouca informação à estimativa seguinte. É possível também verificar que para o percurso DE os valores dos erros quadráticos médios são cerca de 10 vezes superiores, sendo os erros de posição cerca de 4 vezes superiores, relativamente aos restantes percursos. Novamente, esta diferença deve-se ao facto de apenas serem utilizados os 4 satélites de maior elevação no percurso DE.

4.2.2 Sem consideração dos erros ionosféricos

Fazendo novamente 100 simulações, mas ignorando os erros ionosféricos (indicado pelo utilizador), as posições exatas e estimadas, bem como os erros absolutos de posição e velocidade estão representados na figura 15.

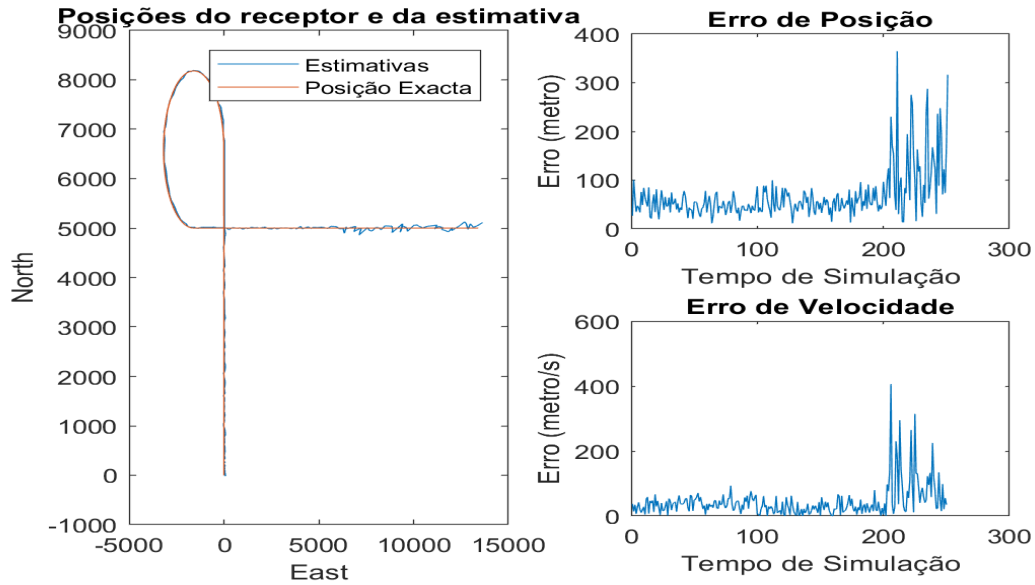


Figura 15: Posição exata e estimada e erros absolutos de posição e velocidade sem erros ionosféricos

O erro de velocidade é referente às grandezas representadas na figura 16.

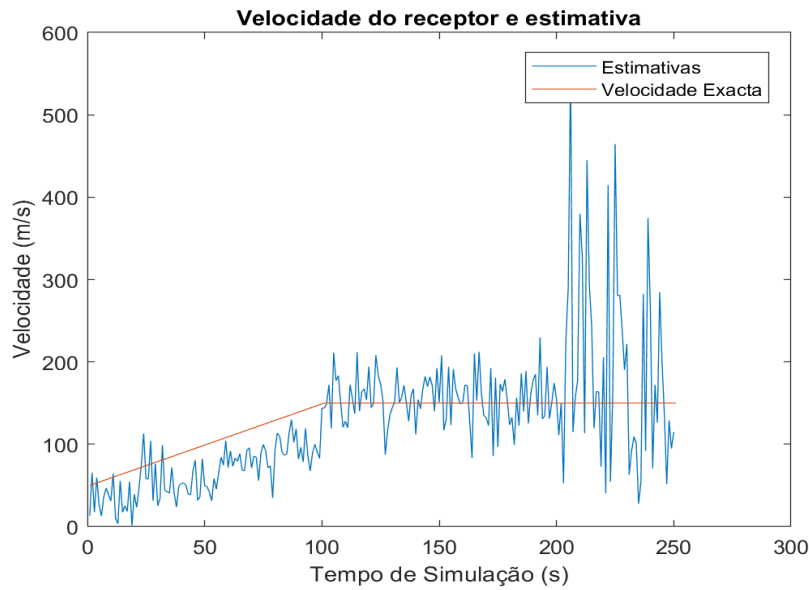


Figura 16: Velocidade exata e estimada para o percurso sem erros ionosféricos

Comparando as figuras 15 e 16 com as figuras 9 e 10, respetivamente, é possível verificar que os erros de posição e de velocidade diminuem.

Os gráficos do erro quadrático médio e do erro de posição para os trajetos AB, BC, CD e DE encontram-se representados nas figuras seguintes, respetivamente.

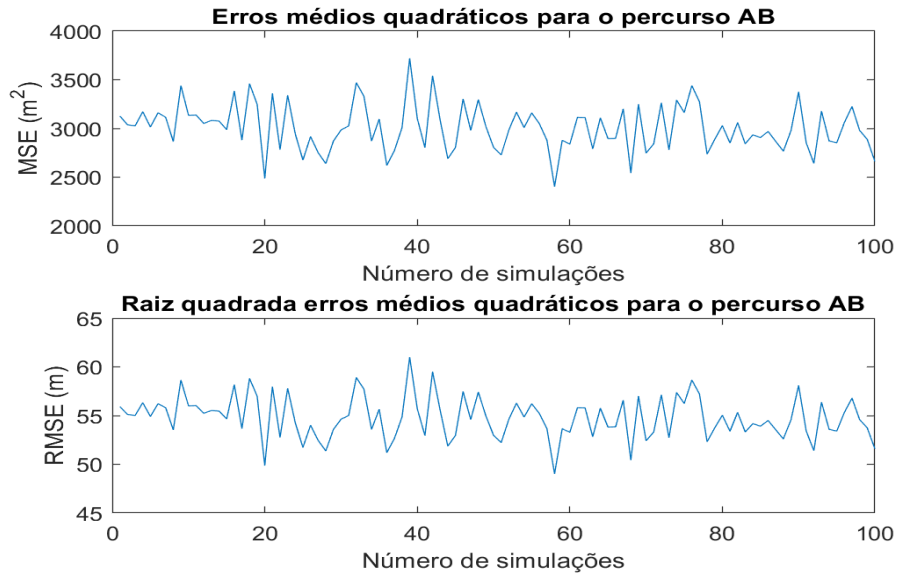


Figura 17: Erro quadrático e de posição médios para o troço AB sem erros ionosféricos

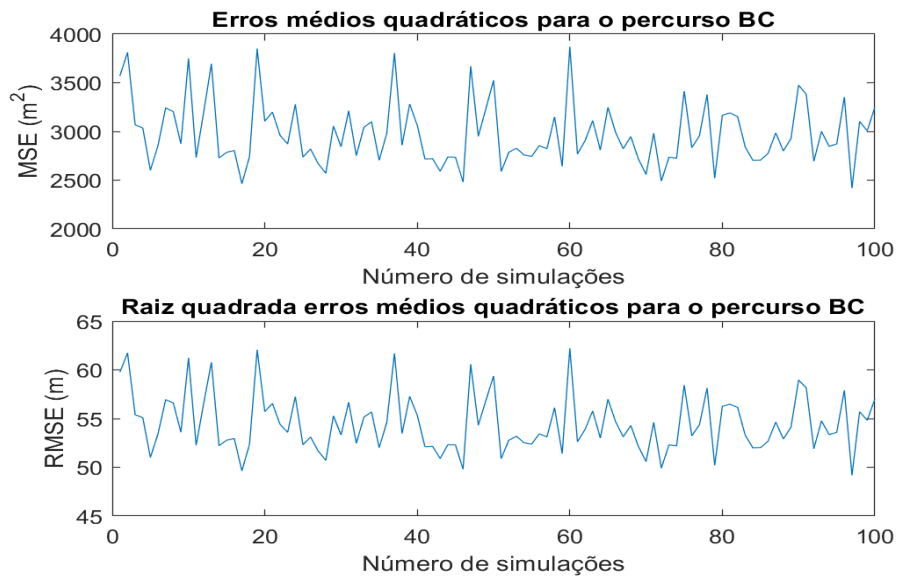


Figura 18: Erro quadrático e de posição médios para o troço BC sem erros ionosféricos

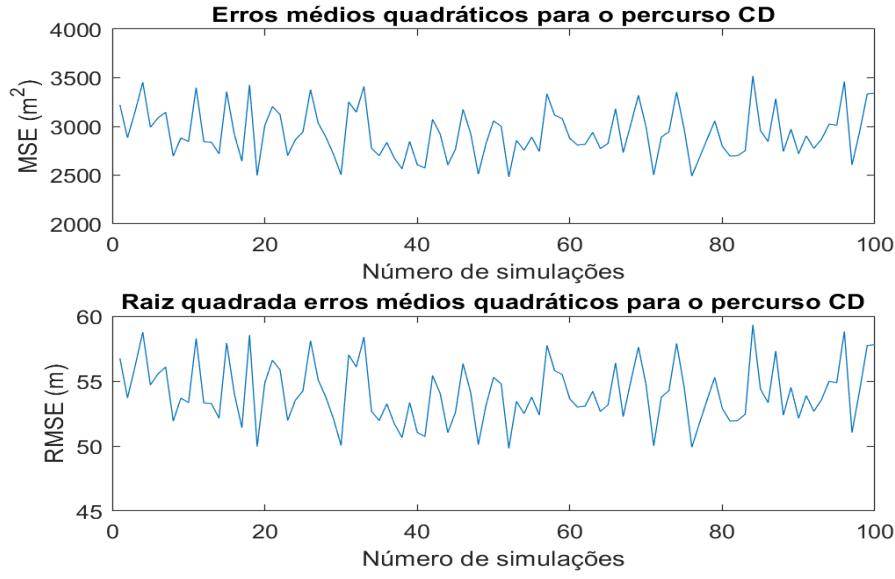


Figura 19: Erro quadrático e de posição médios para o trecho CD sem erros ionosféricos

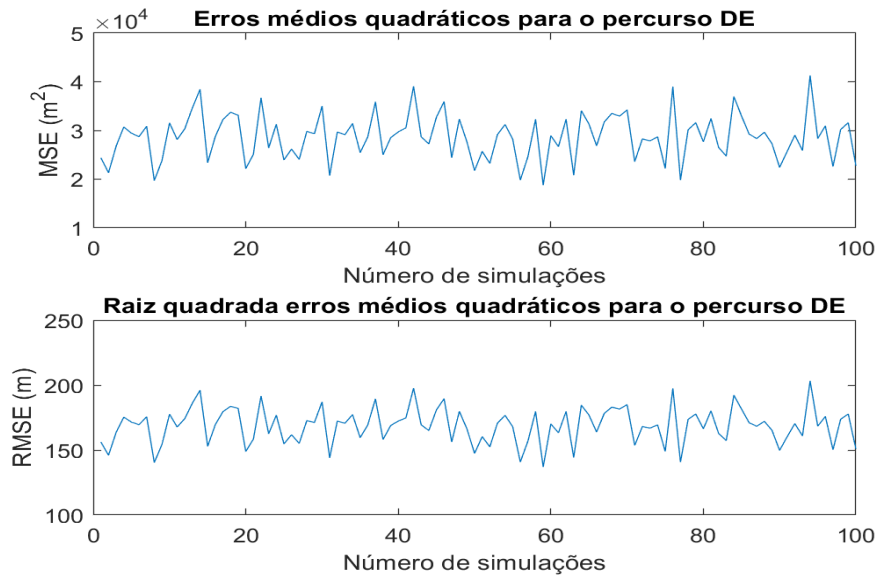


Figura 20: Erro quadrático e de posição médios para o trecho DE sem erros ionosféricos

4.2.3 Com erros ionosféricos e sem *Canyon Scenario*

As 100 simulações foram feitas novamente, mas desta vez considerando que os satélites disponíveis ao longo de todo o percurso eram os mesmos, isto é, o percurso DE deixa de representar uma trajetória de *Canyon Scenario*.

As posições exatas e estimadas, bem como os erros absolutos de posição e velocidade estão representados na figura 21.

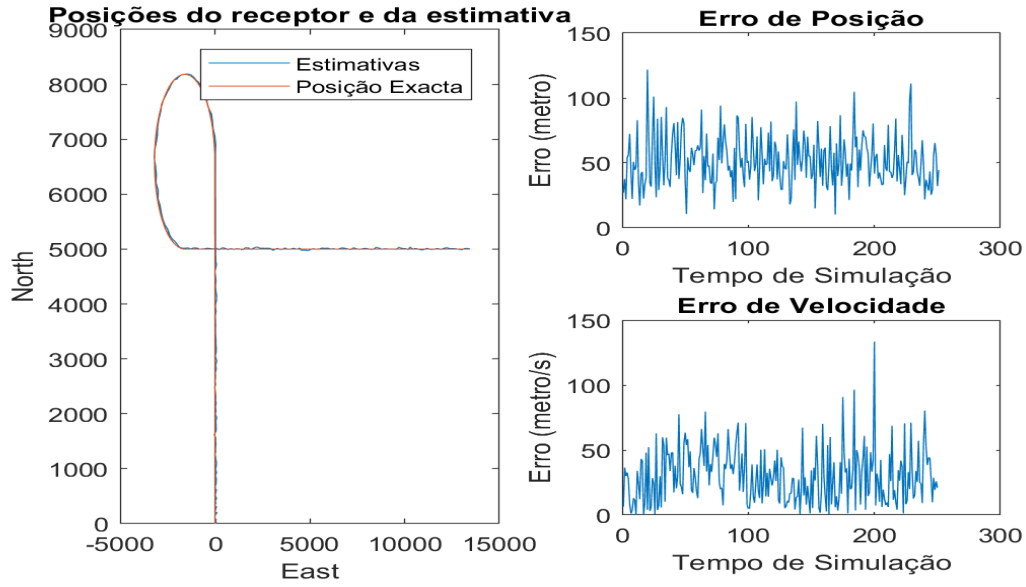


Figura 21: Posição exata e estimada e erros absolutos de posição e velocidade sem *Canyon Scenario* no percurso DE

O erro de velocidade apresentado é então relativo à velocidade real e à velocidade estimada, que estão representadas na figura 22.

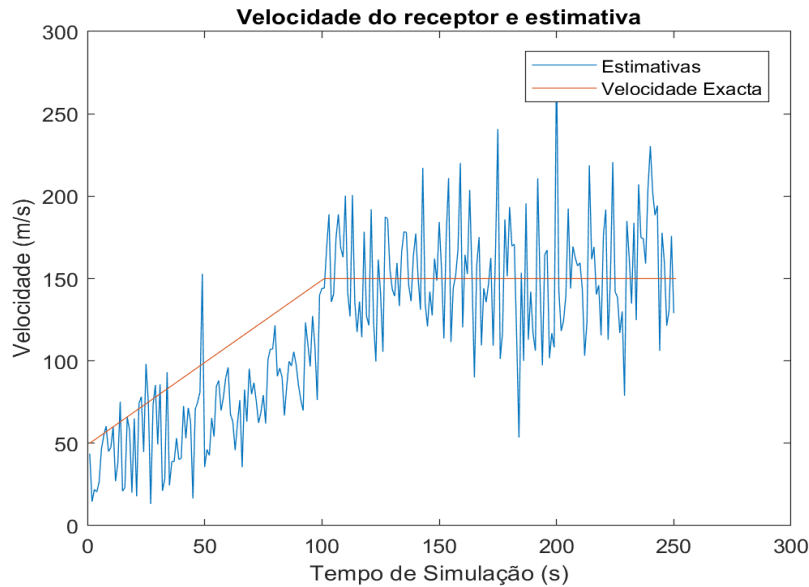


Figura 22: Velocidade exata e estimada para o percurso sem *Canyon Scenario*

Verifica-se um grande desvio entre os erros de posição e velocidade da figura 21 e da figura 9 relativos à trajetória DE. Uma vez que não há restrições neste percurso, o erro de velocidade e de posição evolui da mesma forma que evolui nos outros troços.

De seguida, o erro quadrático médio e o erro de posição médio estão representados em função do número de simulações para o percurso AB, BC, CD e DE, respetivamente.

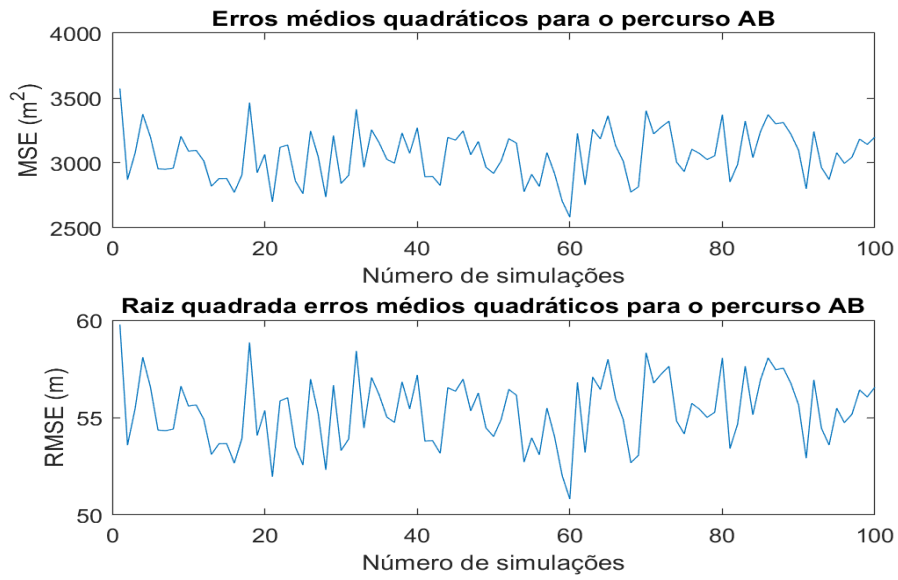


Figura 23: Erro quadrático e de posição médios para o troço AB

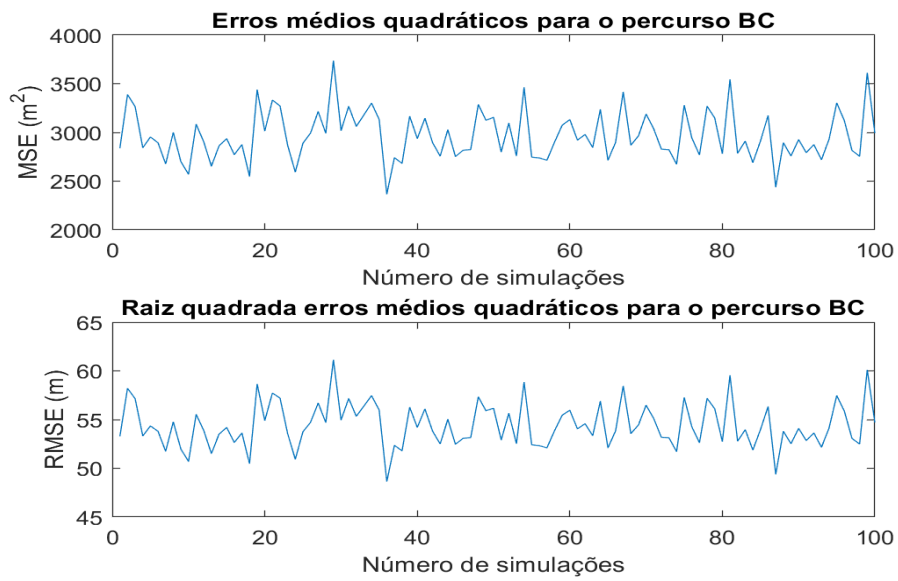


Figura 24: Erro quadrático e de posição médios para o troço BC

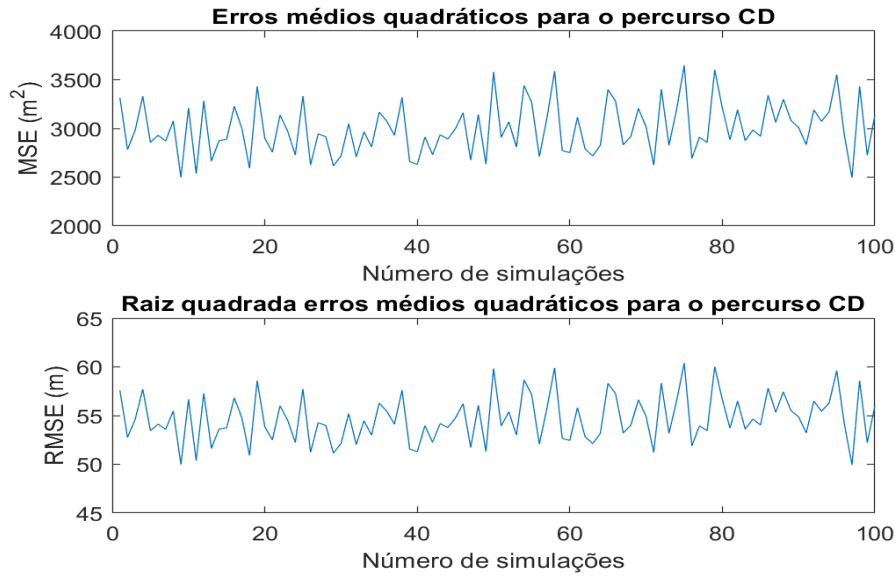


Figura 25: Erro quadrático e de posição médios para o troço CD

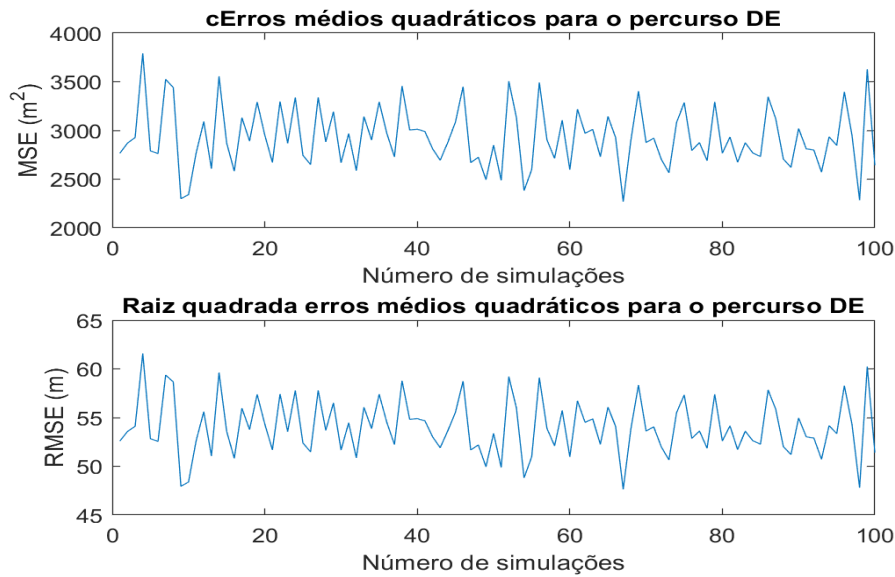


Figura 26: Erro quadrático e de posição médios para o troço DE

Verifica-se que os erros quadrático médio e de posição nos trajetos AB, BC, e CD se mantêm dentro da mesma gama de valores. No entanto, comparando a figura 26 com a figura 14 verifica-se uma grande diminuição dos erros aquando da simulação sem *Canyon Scenario*, uma vez que assim o recetor escolhe utilizar os satélites que minimizam o PDOP. Assim, conclui-se que o decréscimo do número de satélites tem um elevado impacto na estimação da posição e da velocidade, e que a escolha dos satélites com a minimização do PDOP é de elevada importancia nos sistemas GPS.

5 Conclusões

O comportamento do método dos mínimos quadrados foi comprovado na resolução da equação de GPS para o cálculo da posição de um receptor. Foi possível verificar que este método apresenta resultados mais satisfatórios quanto maior for o número de satélites utilizados. FOi estudada a evolução do erro de posição e de velocidade num cenário em que inicialmente se usam 8 satélites que minimizam o PDOP e em que a parte final do percurso representa um *Canyon Scenario*, em que apenas os 4 satélites mais elevados estão disponíveis. Verificou-se que o erro de posição passa de cerca de 50m, aquando a utilização dos 8 satélites, para cerca de 200m com apenas 4. Assim, é realçada a importância de encontrar a combinação de satélites que melhor minimizar o PDOP.

Na análise do caso em que não se consideram erros ionosféricos foi possível concluir que estes contribuem para um aumento significativo do erro de posição e de velocidade. Assim, a minimização destes erros numa estação terrestre é importante para a navegação GPS.

Uma das desvantagens do método dos mínimos quadrados é o facto de se passar pouca informação entre iterações consecutivas. A utilização de filtros de Kalman permite melhores estimativas, uma vez que é tomado em consideração o movimento do recetor e o modelo de relógio.

Bibliografía

- Fernando Nunes, "Air Traffic Control Systems", DEEC-IST, 2018

Código principal

25

```

67 while (test ~= 1)
68     disp('');
69     disp('introduza um angulo de mascara minimo de referencia');
70     mask_s = input('Angulo de mascara em graus:', 's');
71     mask = str2double(mask_s);
72     if isnan(mask) == 1
73         disp('Introduza novamente uma valor valido')
74     else
75         test = 1;
76     end
77 end
78
79 ano= str2num(data_s(7:end));           %#ok<ST2NM>
80 mes= str2num(data_s(4:5));           %#ok<ST2NM>
81 dia= str2num (data_s (1:2));         %#ok<ST2NM>
82 hora= str2num (hour_s(1:2));         %#ok<ST2NM>
83 min= str2num (hour_s(4:5));          %#ok<ST2NM>
84 sec= str2num (hour_s(7:8));          %#ok<ST2NM>
85
86 t_st1 = 24*60*60*datenum(ano, mes, dia, hora, min, sec); %Tempo inicial de transmissao
87 t_sim = 0;
88
89
90 %% Clculo da posi inicial dos satlites em ECEF
91 sat_matrix = calc_sat_pos(square_A,mean_anom,e0,arg_perigeu,RAAN,rate_of_right_ascend,alfa,t_sim,t_st1, numero_sat,id)
92 ;
93 %% Coordenadas exatas do recetor em ECEF
94
95 % Coordenadas do recetor
96 % latitude = 40;
97 % longitude = -9;
98 % altitude = 2000;
99
100 fprintf('\n-----');
101 fprintf('\n\nInsira a posi exacta do receptor:\n\n');
102 test=0;
103 while (test ~= 1)
104     lat_recp_str = input('Latitude formato: DD-MM-SS-(N or S): ', 's');
105     [test, latitude] = isValidcoordinates(lat_recp_str);
106 end
107 test=0;
108 while (test ~= 1)
109     long_recp_str = input('Longitude formato: DD-MM-SS-(W or E): ', 's');
110     [test, longitude] = isValidcoordinates(long_recp_str);
111 end
112 test=1;
113 while (test ~= 0)
114     altitude_str = input('Altitude do receptor: ', 's');
115     altitude = str2double(altitude_str);
116     test = isnan(altitude) + imag(altitude);
117 end
118 test=1;
119
120 fprintf('Latitude (Graus):           %0.2f \n', latitude);
121 fprintf('Longitude (Graus):           %0.2f \n', longitude);
122 fprintf('Altitude (Graus):              %0.1f m\n', altitude);
123 fprintf('\nPrima uma tecla para continuar\n');
124 pause;
125
126 coordinates_receptor_e = lla2ecef([latitude longitude altitude]);
127 coord_recep = (coordinates_receptor_e);
128
129
130 %% Clculo da eleva e do azimute dos satlites em rela posi inicial do recetor
131
132 [sat_E , sat_N , sat_U] = ecef2enu(sat_matrix(:,1),sat_matrix(:,2),sat_matrix(:,3),coord_recep(1), coord_recep(2) ,
    coord_recep(3) , referenceEllipsoid('wgs84'));
133 sat_elev_azii = elev_azi(sat_E , sat_N , sat_U);
134
135 %% calculo dos satelites visiveis a partir da posi do receptor
136

```

```

137 [nr_sat_mask, sat_mask_elev_azii, sat_mask_ecef] = sat_view(sat_matrix, sat_elev_azii, mask);
138
139 % Clculo dos ID's dos satlites que minimizam o PDOP
140 % sat_dim_pret=4; % Dimensao pretendida da sub constela
141
142     verif=1;
143     while(verif == 1)
144         verif = 0;
145         disp('');
146         fprintf('Existem %i satlites visveis.', nr_sat_mask);
147         disp('Quantos satlites pretende utilizar? (Mnimo 4)');
148
149         sat_dim_pret = input('','s');
150         sat_dim_pret = str2double(sat_dim_pret);
151         disp('');
152
153         if isnan(sat_dim_pret) == 1 || (sat_dim_pret > nr_sat_mask && sat_dim_pret < 4)
154             disp ('Valor invlido. Insira um n de satlites vlido. ');
155             verif = 1;
156         end
157     end
158
159 [min_pdop , id_sat_min_pdop] = pdop_min(sat_mask_ecef, nr_sat_mask, coord_recep, sat_dim_pret);
160
161 %Constela dos satlites que minimizam o PDOP de dimenso 4
162 [sub_const_matrix] = sat_sub(sat_dim_pret, sat_mask_ecef, id_sat_min_pdop, nr_sat_mask);
163 sub_const_matrix(:,4) = id_sat_min_pdop(:,4);
164
165 % Elevacao e azimuth dos sat escolhidos em rela ao receptor
166 [sat_EE, sat_NN, sat_UU] = ecef2enu(sub_const_matrix(:,1), sub_const_matrix(:,2), sub_const_matrix(:,3), coord_recep
    (1), coord_recep(2), coord_recep(3), referenceEllipsoid('wgs84'));
167 [sub_const_matrix_elev_azi ] = elev_azi(sat_EE, sat_NN, sat_UU);
168
169
170 %% Medi das pseudo-distncias
171
172 coord_recep(4) = 0; % 4 a varivel o tempo
173
174 %Sele da varincia do rudo
175
176     verif=1;
177     while(verif == 1)
178         verif=0;
179         disp('Indique a varincia pretendida do rudo na medi das pseudo-distancias:');
180         var_ruido = input('','s');
181         var_ruido = str2double(var_ruido);
182
183         if isnan(var_ruido) == 1
184             disp ('Valor invlido. Insira um valor correcto');
185             verif = 1;
186         end
187     end
188
189     verif=1;
190     while(verif == 1)
191         verif = 0;
192         disp('Pretende considerar os erros ionosfricos?');
193         disp('1 - Sim');
194         disp('0 - No');
195
196         iono = input('','s');
197         iono = str2double(iono);
198         disp('');
199
200         if isnan(iono) == 1 || (iono ~= 0 && iono ~=1)
201             disp ('Valor invlido. Insira um valor correcto');
202             verif = 1;
203         end
204     end
205
206 %Clculo das pseudo-distncias
207 [pseu_meas] = pseudoranges_calc(sub_const_matrix, coord_recep, sat_dim_pret, iono, var_ruido);

```

```

208
209
210 %% Estima inicial do recetor
211
212 %Estimativa inicial utilizada – Centro geogrífico de portugal
213 lat_cg_pt=37;
214 long_cg_pt=7;
215 alt_cg_pt=500;
216 est_ini=lla2ecef([lat_cg_pt long_cg_pt alt_cg_pt]);
217 est_ini(4) = c*4;
218
219 %Estima inicial do recetor
220 est_rec_ini = least_sq_alg(sub_const_matrix,est_ini,coord_recep,sat_dim_pret,var_ruido);
221 est_rec = est_rec_ini;
222
223 %% Percurso percorrido
224
225 %Clculo da posi do avio ao longo do percurso
226 percurso = path();
227
228 for z=1:100 %100 Simulaes
229 est_enu(size(percurso,1), 3)=0; %Matriz para as estimativas
230 erro_pos(size(percurso,1),3)=0; %Matriz para os erros de posi
231
232 for k=1:size(percurso,1)
233
234 %Coordenadas EC EF e LLA do percurso realizado
235 [p_ecef(1), p_ecef(2), p_ecef(3)] = enu2ecef(percurso(k,1), percurso(k,2), percurso(k,3), latitude, longitude,
altitude, referenceEllipsoid('wgs84'));
236 p_lla = ecef2lla([p_ecef(1) p_ecef(2) p_ecef(3)]);
237
238 %Posi dos satlites em ECEF para cada instante de simula
239 t_sim=k;
240 sat_matrix = calc_sat_pos(square_A,mean_anom,e0,arg_perigeu,RAAN,rate_of_right_ascend,alfa,t_sim,t_st1, numero_sat
,id);
241
242 %Eleva e Azimute dos satlites para cada posi do recetor
243 [sat_E , sat_N , sat_U] = ecef2enu(sat_matrix(:,1),sat_matrix(:,2),sat_matrix(:,3), p_lla(1), p_lla(2) , p_lla(3)
, referenceEllipsoid('wgs84'));
244 sat_elev_azi = elev_azi(sat_E , sat_N , sat_U);
245 %
246 %Clculo dos satlites visveis em cada instante com a restri da
247 %mascara
248 [nr_sat_mask, sat_mask_elev_azi, sat_mask_ecef] = sat_view(sat_matrix, sat_elev_azi, percurso(k,6));
249
250 %Check number of satellites available
251 if nr_sat_mask >= sat_dim_pret
252 [min_pdop , id_sat_min_pdop] = pdop_min( sat_mask_ecef, nr_sat_mask, p_ecef, sat_dim_pret);
253
254 %Coordenadas ECEF dos sat que minimizam o PDOP
255 [sub_const_matrix] = sat_sub(sat_dim_pret, sat_mask_ecef, id_sat_min_pdop, nr_sat_mask);
256 else
257 disp('N de satlites visiveis insuficientes. O programa terminou.')
258 break
259 end
260
261 %Introduz o ID dos satlites na 4 coluna da matriz
262 sub_const_matrix(:,4) = id_sat_min_pdop(:,4);
263
264 p_ecef(4)=est_rec_ini(4);
265 %Mede as pseudo-distncias entre o recetor e os satlites escolhidos
266 [pseu_meas] = pseudoranges_calc(sub_const_matrix, p_ecef, sat_dim_pret, iono, var_ruido);
267
268 %Clculo da posi do recetor atravs do alg. de Minimos Quadrados
269 %Garante que se for o percurso DE que n de sat = 4
270 if k>201
271 est_rec = least_sq_alg(sub_const_matrix, est_rec, p_ecef, 4, var_ruido);
272 else
273 est_rec = least_sq_alg(sub_const_matrix, est_rec, p_ecef, sat_dim_pret, var_ruido);
274 end
275
276 %Erro absoluto e quadrático cometido com a estimativa

```

```

277 erro_pos(k)=sqrt((est_rec(1)-p_ecef(1))^2+(est_rec(2)-p_ecef(2))^2+(est_rec(3)-p_ecef(3))^2);
278 erro_quadratico(z,k) = erro_pos(k)^2;
279
280 mse_AB(z)=mean(erro_quadratico(z,1:101));
281 mse_BC(z)=mean(erro_quadratico(z,101:151));
282 mse_CD(z)=mean(erro_quadratico(z,151:201));
283 mse_DE(z)=mean(erro_quadratico(z,201:251));
284
285 %Calculo das coord ENU das posies estimadas
286 [est_E, est_N, est_U]=ecef2enu(est_rec(1), est_rec(2), est_rec(3), latitude, longitude, altitude,
    referenceEllipsoid('wgs84'));
287 est_enu(k,:)=[est_E est_N est_U];
288 est_enu(252,:)= [0 0 0];
289
290 vel_est(k)=sqrt((est_enu(k,1)-est_enu(k+1,1))^2+(est_enu(k,2)-est_enu(k+1,2))^2);
291 erro_vel(k)=sqrt((vel_est(k)-percurso(k,4))^2);
292 erro_quad_vel(z,k)=erro_vel(k)^2;
293
294 mse_vel(z)=mean(erro_quad_vel(z,:));
295 end
296
297 est_enu=est_enu(1:end-1,:);
298 vel_est=vel_est(1:end-1);
299 vel_est(101)=vel_est(100);
300 erro_vel=erro_vel(1:end-1);
301 erro_vel(101)=erro_vel(100);
302
303 end

```

Funções utilizadas

```

1 %% read_almanaque.m
2 function [id,square_A,eccent,toa,alfa,rate_of_right_ascend,RAAN,arg_perigee,mean_anom,af0,af1] = read_almanaque (A)
3
4 %Variveis auxiliares
5 n = 0;
6 k = 1;
7 i = 1;
8 verif = 1;
9
10 [n,m] = size(A.data);
11
12 r = (n+1)/14;
13
14 %Inicializa dos parmetros contidos no almanaque
15 id = (1/r);
16 eccent = zeros(1,r);
17 toa = zeros(1,r);
18 alfa = zeros(1,r);
19 rate_of_right_ascend = zeros(1,r);
20 square_A = zeros(1,r);
21 RAAN = zeros(1,r);
22 arg_perigee = zeros(1,r);
23 mean_anom = zeros(1,r);
24 af0 = zeros(1,r);
25 af1 = zeros(1,r);
26
27 while(i<n)
28     id(k) = A.data(i);
29     i = i+2;
30     eccent(k) = A.data(i);
31     i=i+1;
32     toa(k) = A.data(i);
33     i=i+1;
34     alfa(k) = A.data(i);
35     i=i+1;
36     rate_of_right_ascend(k) = A.data(i);
37     i=i+1;
38     square_A(k) = A.data(i);

```

```

39         i=i+1;
40         RAAN(k) = A.data(i);
41         i=i+1;
42         arg_perigee(k) = A.data(i);
43         i=i+1;
44         mean_anom(k) = A.data(i);
45         i=i+1;
46         af0(k) = A.data(i);
47         i=i+1;
48         af1(k) = A.data(i);
49         i=i+3;
50
51         k = k+1;
52     end
53
54 end
55
56 %% Calc_sat_pos.m
57
58 %Fun que d a posi actual dos satlites
59 function[sat_matrix] = calc_sat_pos(square_A,mean_anom,e0,arg_perigee,RAAN,rate_of_right_ascend,alfa,t_sim,t_st1,r,id)
60
61     t_st = t_st1 + t_sim; %Tempo de transmissao do sinal
62     t_oe = 24*60*60*datenum(2000, 1, 23, 0, 0, 0); %Tempo de referencia da ephemeris
63     cons_grav = 3.986005e14; %ctg de gravidade da terra
64
65     delta_t = t_st-t_oe;
66     %Corre do delta t
67     if delta_t > 302000
68         delta_t = delta_t - 604800;
69     end
70
71     %Matriz onde vai ser inserida a posi dos satlites
72     sat_matrix = zeros(r,3);
73
74     %clculo da constela de satlites - coordenadas ECEF
75     for k=1:r
76
77
78
79         n(k) = sqrt(cons_grav/square_A(k)^6); %Mean motion
80         mean_anom_aux = mean_anom(k) + n(k)*delta_t; %Anomalia Mdia
81         eccent_anom = Calc_EA(mean_anom_aux,e0(k)); %Excentricidade
82         %Anomalia verdadeira
83         true_anom = atan2(sqrt(1-e0(k)^2)*sin(eccent_anom),cos(eccent_anom)-e0(k));
84         teta = true_anom + arg_perigee(k);
85         %Longitude do n ascendente
86         omega = RAAN(k) + rate_of_right_ascend(k)*delta_t - 2*pi/86164*t_st;
87         %Raio da ita
88         orbit_rad = square_A(k)^2*(1-e0(k)*cos(eccent_anom));
89
90         sat_matrix(k,1) = orbit_rad*cos(teta)*cos(omega)-orbit_rad*sin(teta)*sin(omega)*cos(alfa(k));
91         sat_matrix(k,2) = orbit_rad*cos(teta)*sin(omega)+orbit_rad*sin(teta)*cos(omega)*cos(alfa(k));
92         sat_matrix(k,3) = orbit_rad*sin(teta)*sin(alfa(k));
93         sat_matrix(k,4) = id(1,k);
94
95     end
96
97 end
98
99 %% Sat_view.m
100
101 % Determina quais os satelites que estao visiveis, ou seja, os que tem maior
102 %elevacao que o angulo de mascara
103
104 function [nr_sat_mask,sat_mask_elev_azi,sat_mask_ecef] = sat_view(sat_matrix, sat_elev_azi, mask)
105
106 i=1;
107 for k=1:size(sat_elev_azi,1)
108     if sat_elev_azi(k,1)>= mask
109         sat_mask_elev_azi(i,:) = sat_elev_azi(k,:);
110

```

```

111         sat_mask_ecef(i,:) = sat_matrix(k,:);
112         i=i+1;
113     end
114 end
115
116 nr_sat_mask=size(sat_mask_elev_azi,1);
117
118 end
119
120
121 %% Sat_sub.m
122
123 function[sub_const_matrix] = sat_sub(dim_sub_const,sat_matrix,id_min,r)
124
125     sub_const_matrix = zeros(dim_sub_const,3);
126
127     for i=1:dim_sub_const
128         for k=1:r
129             if sat_matrix(k,4) == id_min(i)
130                 sub_const_matrix(i,1) = sat_matrix(k,1) ;
131                 sub_const_matrix(i,2) = sat_matrix(k,2);
132                 sub_const_matrix(i,3) = sat_matrix(k,3);
133             end
134         end
135     end
136
137 end
138
139 %% least_sq_alg.m
140
141 function coord_finais = least_sq_alg(sub_const_matrix,est_ini,coord_recep,sat_dim_pret,var_ruido)
142
143     pseu_meas = pseudoranges_calc(sub_const_matrix,coord_recep,sat_dim_pret,1,var_ruido);
144     pseu_est = pseudoranges_calc(sub_const_matrix,est_ini,sat_dim_pret,0,var_ruido);
145     dist = calc_dist(sub_const_matrix,est_ini,sat_dim_pret);
146
147 %Cálculo da matriz G
148     for k=1:sat_dim_pret
149         MG(k,1) = -(sub_const_matrix(k,1)-coord_recep(1))/dist(k);
150         MG(k,2) = -(sub_const_matrix(k,2)-coord_recep(2))/dist(k);
151         MG(k,3) = -(sub_const_matrix(k,3)-coord_recep(3))/dist(k);
152         MG(k,4) = 1;
153     end
154     G = MG;
155
156     Ginv = inv(G'*G);
157     delta_pseu = pseu_meas - pseu_est;
158     delta_pos = (Ginv * G') * delta_pseu';
159     delta_pos_i = delta_pos';
160     est_ini = est_ini + delta_pos_i;
161
162     coord_finais= est_ini;
163 end
164
165
166 %% pdop_min.m
167
168 % Calcula a constelacao de satelites que tem a menor PDOP
169 function[min_pdop, id_sat_min_pdop] = pdop_min(sat_vis, nr_sat, coordinates, dim_sub_const)
170
171     % Inicializacao
172     r = zeros(1,nr_sat);
173
174     aux = nchoosek(1:nr_sat,dim_sub_const); % Corresponde a todas as combinacoes possiveis de satelites
175     max = nchoosek(nr_sat,dim_sub_const); % Corresponde ao numero maximo de combinacoes
176
177     G = zeros(dim_sub_const, 4);
178     pdop = zeros(1,max);
179     id_sat_min_pdop = zeros(1,dim_sub_const);
180
181     for j=1:nr_sat
182         % Calcula as distancias receptor - satellite cada combinacao

```

```

183         r(j) = sqrt((coordinates(1)-sat_vis(j,1))^2 + (coordinates(2)-sat_vis(j,2))^2 + (coordinates(3)-sat_vis(j,3))
184             ^2);
185     end
186     for i=1:max
187         for n=1:dim_sub_const
188             % Matriz G para cada combinacao satelites
189             G(n,1) = (coordinates(1)-sat_vis(aux(i,n),1))/r(aux(i,1));
190             G(n,2) = (coordinates(2)-sat_vis(aux(i,n),2))/r(aux(i,2));
191             G(n,3) = (coordinates(3)-sat_vis(aux(i,n),3))/r(aux(i,3));
192             G(n,4) = 1;
193         end
194
195         % Calcula o PDOP da combinacao
196         H = inv(G.'*G);
197         pdop(i) = sqrt(H(1,1) + H(2,2) + H(3,3));
198     end
199
200     % Encontra o PDOP minimo e a posicao na matriz
201     [min_pdop, pos] = min(pdop(:));
202
203
204     for k=1:dim_sub_const
205         % Determina os IDs atraves da posicao na matriz onde estava o PDOP
206         % minimo, e vai buscar a matriz das coordenadas dos satelites (que tambem continha os IDs)
207         id_sat_min_pdop(k)= sat_vis(aux(pos,k),4);
208     end
209
210 end
211
212 %% pseudoranges_calc.m
213
214 function[pseu_meas] = pseudoranges_calc(sub_const_matrix,coord_recep,sat_dim_wanted,iono,var_ruido)
215 pseu_meas(sat_dim_wanted)=0;
216 for k=1:sat_dim_wanted
217     pseu_meas(k) = sqrt((coord_recep(1)-sub_const_matrix(k,1))^2 + (coord_recep(2)-sub_const_matrix(k,2))^2 + (
218         coord_recep(3)-sub_const_matrix(k,3))^2) + coord_recep(4);
219
220     LLA = ecef2lla ([coord_recep(1) coord_recep(2) coord_recep(3)]);
221
222     [sat_E,sat_N,sat_U] = ecef2enu(sub_const_matrix(k,1),sub_const_matrix(k,2),sub_const_matrix(k,3),LLA(1),LLA(2)
223         ,LLA(3),referenceEllipsoid('wgs84'));
224     [sat_elev_azi] = elev_azi(sat_E,sat_N,sat_U);
225
226     elev = sat_elev_azi(1,1);
227     noise=var_ruido*randn(); %Rudo
228     pseu_meas(k) = pseu_meas(k) + noise;
229     if iono == 1
230         pseu_meas(k) = pseu_meas(k) + 10/sind(elev);
231     end
232 end
233
234 %% path.m
235
236 function [P]=path()
237
238 f=1; % Frequncia a que as posies so actualizadas (1Hz)
239 x_0=0;
240 y_0=0;
241 z_0=0;
242 v_0 = 50; %Velocidade inicial (50m/s)
243 m=10; %Angulo de mscara
244 P=[x_0 y_0 z_0 v_0 0 0 m]; % Inicializa do percurso
245
246 %Percurso AB
247 t=100; %dura do percurso em segundos
248 a=1; %acelera constante
249
250 for i = 1:t
251     x=x_0;

```



```

252         y=y_0+(a*i^2)/2;
253         z=z_0;
254         v=v_0+a*i;
255         P=[P;x y z v a m];
256     end
257
258     % Percuso BC
259     t=50; % dura do percurso em segundos
260     a=0; % Velocidade constante a partir de B
261     w=(3*pi/2)/t; % velocidade angular
262     r=v/w; % raio do percuso
263     c = [x, y+r];
264     for i = 1:(t/f)
265         x = c(1)-r*(1-cos(i*w));
266         y = c(2)+r*sin(i*w);
267         P=[P;x y z v a m];
268     end
269     % Percurso CD
270     t=50; %dura do percurso em segundos
271     x_c=x;
272     for i = 1:t
273         x=x_c+v*i;
274         P=[P;x y z v a m];
275     end
276     % Percurso DE
277     t=50; %dura do percurso em segundos
278     x_d=x;
279     m=28;
280     for i = 1:t
281         x=x_d+v*i;
282         P=[P;x y z v a m];
283     end
284
285 end
286
287 %% elev_azi.m
288
289 % CONVERTE DE ENU PARA AZIMUTE E ELEVA O
290 function sat_elev_azi=elev_azi(e,n,u)
291
292 for i =1:size(e(:,1))
293
294     azim(i,1)=rad2deg(atan2(e(i,1),n(i,1)));
295     elev(i,1)=rad2deg(asin(u(i,1)/sqrt(e(i,1)^2+n(i,1)^2+u(i,1)^2)));
296
297 end
298 %el=rad2deg(atan2(u,sqrt(n^2+e^2)));
299 sat_elev_azi = [azim, elev];
300 end
301
302
303 %% DMStoD.m
304
305 % Converte graus, minutos e segundos para graus.
306 function [D] = DMStoD (DMS)
307
308     D = zeros(size(DMS,1),1);
309
310     for i=1:size(DMS,1)
311
312         for j=1:size(DMS,2)
313
314             D(i) = D(i) + DMS(i,j) / 60^(j-1);
315
316         end
317     end
318
319 end
320
321 %% Calc_EA.m
322
323

```

```

324
325 function[E] = Calc_EA(M,e)
326
327     tol = 10^-8;
328     Etemp = M;
329     ratio = 1;
330
331     while abs(ratio) > tol
332         f_E = Etemp - e*sin(Etemp) - M;
333         f_Eprime = 1 - e*cos(Etemp);
334         ratio = f_E/f_Eprime;
335         if abs(ratio) > tol
336             Etemp = Etemp - ratio;
337         else
338             E = Etemp;
339         end
340     end
341
342 end
343
344
345 %% calc_dist.m
346
347 % Calcula distancia entre duas coordenadas
348 function[Delta] = calc_dist(sub_const_matrix,coordinates,sat_dim_pret)
349
350 for k=1:sat_dim_pret
351     dist(k) = sqrt((coordinates(1)-sub_const_matrix(k,1))^2 + (coordinates(2)-sub_const_matrix(k,2))^2 + (coordinates
352         (3)-sub_const_matrix(k,3))^2);
353
354 end
355 Delta = dist;
356
357 end
358
359 %% isValidhour.m
360
361 function res = isValidhour( hour )
362
363 if (length(hour)~=8)
364     res=0;
365     return;
366 end
367
368 HHstr = hour(1:2);
369 HH=str2double(HHstr);
370
371 if (HH<0 || HH>23 || isnan(HH)==1)
372     res=0;
373     return;
374 end
375
376 MMstr = hour(4:5);
377 MM=str2double(MMstr);
378 if (isempty(MM)==1 || (60<MM)&& (MM<0) || isnan(MM)==1)
379     res=0;
380     return;
381 end
382
383 SSstr = hour(7:8);
384 SS=str2double(SSstr);
385 if (isempty(SS)==1 || (60<SS)&& (SS<0) || isnan(SS)==1)
386     res=0;
387     return;
388 end
389
390 if (hour(3)~=':' || hour(6)~=':')
391     res=0;
392     return;
393 end
394 res=1;
395 end

```

```

395
396
397 %% isValidDate.m
398
399 function res=isValidDate(d)
400 % d = Enter date in 'DD/MM/YYYY' format
401 if (length(d)~=10)
402     res=0;
403     return;
404 end
405 yearstr=d(7:10);
406 year=str2double(yearstr);
407 if (year<1993 || isnan(year)==1)
408     res=0;
409     return;
410 end
411 monthstr=d(4:5);
412 month=str2double(monthstr);
413 if (isempty(month)==1 || isnan(month)==1)
414     res=0;
415     return;
416 elseif (month<1 || month>12)
417     res=0;
418     return;
419 end
420 if (d(3)~='/' || d(6)~='/')
421     res=0;
422     return;
423 end
424 daystr=d(1:2);
425 day=str2double(daystr);
426 if (isempty(day)==1 || isnan(day)==1)
427     res=0;
428     return;
429 end
430 if (month==1 || month==3 || month==5 || month==7 || month==8 || month==10 || month==12)
431     if (day<1 || day>31)
432         res=0;
433         return;
434     end
435 end
436 if (month==4 || month==6 || month==9 || month==11)
437     if (day<1 || day>30)
438         res=0;
439         return;
440     end
441 end
442
443 if (rem(year,400)==0)
444     if (month==2)
445         if (day<1 || day>29)
446             res=0;
447             return;
448         end
449     end
450 else if (rem(year,100)==0)
451     if (month==2)
452         if (day<1 || day>28)
453             res=0;
454             return;
455         end
456     end
457 else if (rem(year,4)==0)
458     if (month==2)
459         if (day<1 || day>29)
460             res=0;
461             return;
462         end
463     end
464 else
465     if (month==2)
466         if (day<1 || day>28)

```

```

467         res=0;
468         return;
469     end
470 end
471 end
472 end
473 end
474
475 if day < 1 && month<7 && year < 1993
476     res=0;
477     return
478 end
479
480 res=1 ;
481 end
482
483
484 %% isValidcoordinates.m
485
486 function [test,coord_graus] = isValidcoordinates(coordinates)
487
488 if (length(coordinates)~=10)
489     test=0;
490     coord_graus=0;
491     return;
492 end
493
494 if (coordinates(3)~='-' || coordinates(6)~='-' || coordinates(9)~='-')
495     test=0;
496     coord_graus=0;
497     return;
498 end
499
500 dd = str2double(coordinates(1:2));
501 mm = str2double(coordinates(4:5));
502 ss = str2double(coordinates(7:8));
503 N_S= coordinates(10);
504
505 if N_S == 'N' || N_S == 'E'
506     coord_graus = DMStoD ([dd mm ss]);
507     test=1;
508     return
509 else if N_S == 'S' || N_S == 'W'
510     coord_graus = -DMStoD ([dd mm ss]);
511     test=1;
512     return
513 end
514 end
515
516 if (abs(coord_graus)>180)
517 if (abs(coord_graus)>90)
518     test=0;
519     coord_graus=0;
520     return;
521 end
522 end
523 end

```